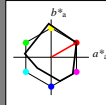


Eingabe: Farbmimetrisches Reflexions-System MRS18

für Buntton $h^* = \text{lab}^*h = 30/360 = 0.083$
 lab^*tch und lab^*nch

D65: Buntton R
LCH*Ma: 50 77 30
rgb*Ma: 1.0 0.0 0.0

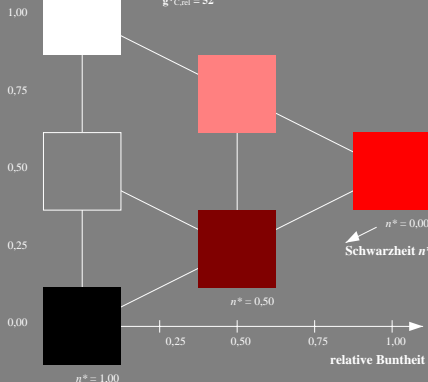
Dreiecks-Helligkeit t^*



%Umfang
 $u^*_{rel} = 91$
%Regularität
 $g^*_{H,rel} = 41$
 $g^*_{C,rel} = 52$

MRS18; adaptierte CIELAB-Daten

	$L^* = L^*_a$	a^*_a	b^*_a	$C^*_{ab,a}$	$h^*_{ab,a}$
RMa	49.63	66.96	38.37	77.18	30
YMa	90.7	-6.36	88.75	88.98	94
GMa	52.11	-69.73	9.44	70.37	172
G50BMa	45.03	-36.57	-28.47	46.36	218
BMa	36.65	23.19	-63.05	67.18	290
B50RMa	34.94	57.17	-44.26	72.31	322
NMa	18.01	0.0	0.0	0.0	0
WMa	95.41	0.0	0.0	0.0	0
R _{CIE}	39.92	58.66	26.98	64.56	25
G _{CIE}	81.26	-2.17	67.76	67.79	92
B _{CIE}	52.23	-42.26	11.75	43.87	164
B _{CIE}	30.57	1.15	-46.84	46.87	271

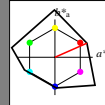


Ausgabe: Farbmimetrisches Reflexions-System NCS11

für Buntton $h^* = \text{lab}^*h = 24/360 = 0.066$
 lab^*tch und lab^*nch

D65: Buntton R
LCH*Ma: 47 92 24
rgb*Ma: 1.0 0.0 0.0

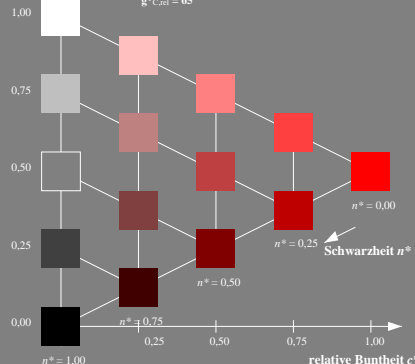
Dreiecks-Helligkeit t^*



%Umfang
 $u^*_{rel} = 149$
%Regularität
 $g^*_{H,rel} = 46$
 $g^*_{C,rel} = 65$

NCS11; adaptierte CIELAB-Daten

	$L^* = L^*_a$	a^*_a	b^*_a	$C^*_{ab,a}$	$h^*_{ab,a}$
RMa	47.15	84.64	37.25	92.48	24
YMa	91.37	-1.27	125.03	125.03	91
GMa	63.07	-114.28	25.35	117.06	167
G50BMa	59.47	-80.6	-33.45	87.28	203
BMa	49.01	3.65	-81.19	81.28	273
B50RMa	44.06	106.09	-73.93	129.32	325
NMa	10.99	0.0	0.0	0.0	0
WMa	95.41	0.0	0.0	0.0	0
R _{CIE}	39.92	58.69	27.98	65.01	25
G _{CIE}	81.26	-2.9	71.56	71.62	92
B _{CIE}	52.23	-42.45	13.59	44.59	162
B _{CIE}	30.57	1.35	-46.48	46.51	272



TG630-7, 3stufige Reihen für konstanten CIELAB Buntton 30/360 = 0.083 (links)

5stufige Reihen für konstanten CIELAB Buntton 24/360 = 0.066 (rechts)

BAM-Prüfvorlage TG63; Farbmimetrische Systeme MRS18 & NCS11
D65: 3 und 5stufige Farbreihen für 10 Bunttöne

input: `olv* setrgbcolor`
output: `no change compared to input`